



وارون‌سازی مقید سه‌بعدی داده‌های گرانی‌سنجدی گنبد نمکی قم با استفاده از قیدهای مثبت بودن، هموارسازی، مدل مرجع و مدل گرانه‌ای

وحید جعفرزاده^۱، علی نجاتی کلاته^{۲*}، حمید آقاچانی^۳ و احمد واعظیان^۳

۱- دانشجوی کارشناسی ارشد، دانشکده مهندسی معدن، نفت و ژئوفیزیک، دانشگاه صنعتی شهرورد

۲- استادیار، دانشکده مهندسی معدن، نفت و ژئوفیزیک، دانشگاه صنعتی شهرورد

۳- دکتری اکتشاف معدن، دانشکده مهندسی معدن، نفت و ژئوفیزیک، دانشگاه صنعتی شهرورد

دریافت مقاله: ۱۳۹۴/۰۹/۲۶؛ پذیرش مقاله: ۱۳۹۴/۱۱/۰۴

* نویسنده مسئول مکاتبات: nejati@shahroodut.ac.ir

وازگان کلیدی

هدف از تحقیق حاضر، وارون‌سازی داده‌های گرانی‌سنجدی گنبد نمکی قم با استفاده از برنامه Grav 3D مبتنی بر روش لی-اولدنبیرگ و مقایسه نتایج حاصل از به کار گیری قیدهای مثبت بودن، هموارسازی، مدل مرجع و مدل گرانه‌ای است. مراحل به کار رفته در این روش را می‌توان شامل مراحل مدل‌سازی پیش‌رو، انتخاب تابع هدف مدل شامل وزن‌دهی عمقی مناسب، تعیین تابع عدم برآش بین داده‌های مشاهده‌ای و محاسبه‌ای، مشخص کردن ضریب تعیین کننده چگونگی تطابق داده‌ها با یکدیگر و سپس اعمال یک حصار لگاریتمی برای به دست آوردن جواب‌های مثبت برآورده شده حاصل از وارون‌سازی دانست. در این تحقیق، مراحل گام‌به گام مدل‌سازی با استفاده از قیود مذکور قرار گرفته و در هر مرحله نقاط قوت و ضعف این قیود بیان شده است. نتایج حاصل از وارون‌سازی نشان می‌دهد که گسترش عمودی گنبد نمکی قم، حداقل تا عمق ۴۵۰۰ متری ادامه دارد؛ درنتیجه منشأ گنبد نمکی قم، سازند قرمز زیرین است.

وارون‌سازی مقید
روش لی و اولدنبیرگ
هموارسازی
مدل مرجع
گنبد نمکی قم

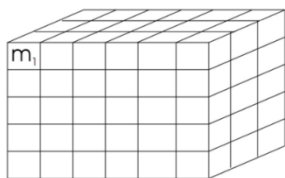
۱- مقدمه

: (Li and Oldenburg, 1998)

$$g_z(r_i) = G \int_V \rho(r) \frac{z - z_i}{|r - r_i|^3} dv \quad (1)$$

که در آن (r) توزیع چگالی غیر متشابه و G ثابت جهانی گرانش می‌باشد. هدف از وارونسازی، محاسبه مستقیم چگالی ρ ، از داده‌های گرانی به دست آمده از g_z می‌باشد.

برای مدل‌سازی، زمین به تعداد زیادی سلول مکعبی که دارای ویژگی فیزیکی ثابتی هستند، تقسیم می‌شود. این سلول‌ها درون یک دستگاه مختصات متعامد، یک سیستم شبکه‌ای سه‌بعدی را تشکیل می‌دهند (شکل ۱).



شکل ۱: گسسته سازی زمین از طریق شبکه‌بندی سه‌بعدی عمودبرهم.

در این سیستم، زمین به‌وسیله یک بردار ستونی $d = Gm = (m_1, m_2, \dots, m_M)^T$ با طول M (تعداد سلول‌ها) معرفی می‌شود. هر درایه‌ی این بردار، مربوط به مقدار ویژگی فیزیکی هر سلول در مدل می‌باشد. بر اساس توزیع ویژگی فیزیکی زمین گسسته، چهت محاسبه پاسخ در هر نقطه‌ی مشاهده‌ای، حل مسئله پیش‌رو که شامل حل یک سیستم معادلات است، انجام می‌شود. برای یک سیستم معادلات خطی، داده‌ها از ضرب برداری ماتریسی حاصل می‌شوند. شکل ماتریسی مسئله پیش‌رو گسسته به صورت زیر بیان می‌شود:

$$d = Gm \quad (2)$$

که در آن، G ، ماتریس عملگر پیش‌رو، m ، بردار پارامترهای مدل شامل M آرایه و d ، بردار مقادیر داده‌های مشاهده‌ای شامل N داده‌است. در این مسائل، مقادیر معلوم در مسئله d و G هستند و درنهایت، هدف محاسبه m می‌باشد (Philips, 2002). وارونسازی under مسائل ژئوفیزیکی معمولاً از نوع مسائل فروتخمینی (determined) است، بدین معنی که تعداد پارامترهای مدل (M)، بسیار بیشتر از داده‌های مشاهده‌ای (N) است؛ بنابراین بین نهایت مدل حاصل می‌شود (Lelièvre, 2009) که از میان آن‌ها، جواب مطلوب مدلی است که با ساختارها و خصوصیات زمین‌شناسی مطابقت داشته باشد. مبنای برنامه 3D Grav، الگوریتم لی و اولدنبورگ می‌باشد که تابع هدف مدل به کاررفته در آن به صورت رابطه (۳) تعریف می‌شود (Williams, 2008):

مدل‌سازی داده‌های گرانی‌سنجدی با روش‌های مختلفی انجام می‌شود که می‌توان آن‌ها را به دو دسته پیش‌رو و وارون تقسیم‌بندی کرد. فرآیند مدل‌سازی پیش‌رو، با انتخاب مدل فرضی اولیه آغاز و با استفاده از روابط ریاضی، پاسخ آن تعیین و با داده‌های اندازه‌گیری شده مقایسه می‌شود؛ در صورت برآش مناسب بین داده‌های محاسبه‌ای و مشاهده‌ای، مدل اولیه به عنوان مدل نهایی در نظر گرفته شده و در صورت عدم برآش کافی، با تغییر پارامترهای مدل، مدل اولیه بهینه شده و محاسبات تکرار می‌شود تا برآش مناسب بین داده‌های محاسبه‌ای و مشاهده‌ای حاصل گردد. در مدل‌سازی وارون، داده‌های اندازه‌گیری شده به عنوان ورودی به برنامه داده می‌شوند و سپس با اجرای محاسبات مربوط به نظریه‌ی وارونسازی بر روی آن‌ها، پارامترهای مدل در حکم خروجی سامانه دریافت می‌شوند (مرادزاده و همکاران، ۱۳۸۴). محققین زیادی از روش مدل‌سازی Hubbert, 1948; Talwani et al., 1959; Talwani and Ewing, 1960; Grant and West, 1965; Won and Bevis, 1987 به کارگیری روش مدل‌سازی وارون، روش‌های بسیاری مانند وارونسازی هموار (Li and Oldenburg, 1996, 1998), Portniaguine and Zhdanov, 1999, Boulanger, 2002)، وارونسازی به کمک ترکیب مدل‌های ریاضی (and Chouteau, 2001)، وارونسازی بر مبنای کوواریانس (Chasseriau and Chouteau, 2003)، وارونسازی بر مبنای سنگ‌شناسی متغیر (Guillen et al., 2004)، وارونسازی ساختاری (Van Zon and Roy-Chowdhury, 2006)، وارونسازی با استفاده از شبکه انتطباقی (Fullagar et al., 2008) و مورد استفاده قرار گرفته است. در حل مسائل وارون، دو رویکرد عمده‌ی خطی و غیرخطی وجود دارد؛ که با توجه به خصوصیات موضوع مورد مطالعه، یکی از این دو انتخاب می‌شود. در روش خطی، هدف مدل‌سازی با هندسه‌ی ثابت است و رابطه‌ی بین داده‌ها و پارامترهای مدل (چگالی در هر بلوک)، رابطه‌ای خطی است. در روش غیرخطی، رابطه بین داده‌ها و پارامترهای مدل (که در اینجا همان پارامترهای هندسی مدل هستند)، به صورت غیرخطی است و معمولاً برای تبدیل این دستگاه به یک دستگاه معادلات خطی، باید از تقریب‌های متداول نظری بسط تیلور استفاده کرد. در این روش، هندسه‌ی جسم مورد نظر به صورت آزمون و خطای خودکار، با تعديل مدل اولیه به دست می‌آید (نجاتی و ابراهیم‌زاده اردستانی، ۱۳۸۴).

۲- نظریه‌ی روش

مؤلفه قائم میدان گرانی در نقطه مشاهده‌ای i ام که به فاصله r_i از جسم ناهنجار است، به صورت زیر تعریف می‌شود

$$\phi_m = \alpha_s \int_V w_s [W_r(z)(m - m_{ref})]^2 dV + \alpha_x \int_V w_x \left[\frac{\partial}{\partial x} (W_r(z)(m - m_{ref})) \right]^2 dV + \alpha_y \int_V w_y \left[\frac{\partial}{\partial y} (W_r(z)(m - m_{ref})) \right]^2 dV + \alpha_z \int_V w_z \left[\frac{\partial}{\partial z} (W_r(z)(m - m_{ref})) \right]^2 dV \quad (3)$$

مطلوب می‌شود (Philips, 2002):

$$\phi = \phi_d + \mu \phi_m \quad (7)$$

علاوه بر ضرایب هموارسازی در جهات مختلف و توابع وزنی reference عمیقی، می‌توان با استفاده از قیدهای مدل مرجع (reference model) و مدل کرانه‌ای (bounded model)، اطلاعات به دست آمده از زمین‌شناسی، حفاری و دیگر روش‌های ژئوفیزیکی را وارد روند وارون‌سازی کرد. داده‌های استفاده شده از این طریق، از اهمیت و اعتماد بالایی برخوردارند و درنتیجه‌ی نهایی مدل‌سازی، بدون هیچ‌گونه تغییری باقی‌مانده و باعث بهبود مدل نهایی نسبت به حالت بدون قید آن می‌شوند. برای طراحی مدل مرجع، می‌توان از اطلاعات حفاری و دیگر فیلترهای متداول ژئوفیزیکی نظیر روش‌های تخمین عمق و مرز، جهت تعیین کردن عمق تقریبی و میزان گستردگی سطحی ساختار موردمطالعه سود برد. در طراحی مدل کرانه‌ای، حد بالا و پایین تباين چگالی برای هر سلول تعریف می‌شود و اجازه نمی‌دهد که از این مقادیر خارج شود؛ با این روش، مدل به شدت مقید شده و نتایج مفیدتری ارائه می‌دهد (Williams, 2008).

فیلتر زاویه‌ی تمایل یکی از فیلترهای فاز محلی است که مبتنی بر نسبت مشتقات میدان‌گرانی است و در متداول کردن دامنه‌ی آnomالی‌های عمیق نسبت به آنومالی‌های کم‌عمق مؤثر است؛ به عبارتی فیلتر زاویه‌ی تمایل، دامنه آنومالی‌های عمیق‌تر را نسبت به سطحی‌تر تقویت می‌کند. این فیلتر به صورت زیر تعریف می‌شود (Miller and Singh, 1994):

$$TA = \tan^{-1} \left(\frac{\partial g / \partial z}{\sqrt{(\partial g / \partial x)^2 + (\partial g / \partial y)^2}} \right) \quad (8)$$

در این راستا، فیلتر زاویه‌ی تمایل هایپربولیک نیز جهت تعیین موقعیت افقی بی‌هنگاری‌ها به کار می‌رود که به صورت زیر تعریف می‌شود (Cooper and Cowan, 2006):

$$HTA = \text{Real} \left(\tan^{-1} \left(\frac{\partial g / \partial z}{\sqrt{(\partial g / \partial x)^2 + (\partial g / \partial y)^2}} \right) \right) \quad (9)$$

که در دو معادله‌ی اخیر g ، میدان‌گرانی، TA، زاویه‌ی تمایل و HTA، زاویه‌ی تمایل هایپربولیک هستند.

۳- روش انجام کار

۳-۱- وارون‌سازی داده‌های مصنوعی

معمولًاً در روش‌های گوناگون ژئوفیزیکی، برای بررسی کارایی یک

قسمت اول معادله‌ی ۳، معیار نزدیکی (closeness) مدل به دست آمده به مدل مرجع (m_{ref}) می‌باشد، و ارات بعد، میزان همواری (smoothness) مدل را در جهات x، y و z کنترل می‌کند. ضرایب α_s ، α_x ، α_y و α_z ، جهت وزن‌دهی قسمت‌های مختلف معادله است که تابع هدف مدل را قادر می‌سازد تا با تغییر یک یا دو پارامتر، موفق به بازسازی مدل‌هایی شود که به مدل مرجع نزدیک یا ترجیح‌اً در یک راستای خاص هموارتر باشد. توابع وزن‌دهی وابسته‌ی فضایی w_s ، w_x ، w_y و w_z ، جهت وزن‌دهی اهمیت یک پارامتر مدل نسبت به دیگری است (Philips, 2002). تابع W_r نیز یک تابع وزن‌دهی تعمیم یافته است که هدف آن، خنثی کردن میرایی هندسی حساسیت با فاصله است (یوسفی و اسکویی، ۱۳۹۲). از طریق توابع وزن‌دهی و مدل مرجع، می‌توان اطلاعات اولیه قابل اعتماد که از زمین‌شناسی یا دیگر روش‌های ژئوفیزیکی حاصل می‌شوند را وارد روند وارون‌سازی کرد. نتیجه این کار، هدایت وارون‌سازی به سمت مدلی است که علاوه‌بر برآراش نسبی بر داده‌ها، با ساختارهای زمین‌شناسی نیز انطباق دارد. شکل ماتریسی رابطه (۳)، به صورت زیر است:

$$\Phi_m = \|w_m(m - m_{ref})\|^2 \quad (4)$$

که در آن w_m ، یک ماتریس وزنی با ابعاد $M \times M$ است که تمام توابع مشتق و وزن‌دهی‌های تابع هدف مدل، درون آن جای می‌گیرند و $\| \cdot \|_2$ نرم ۲ است. جهت اندازه‌گیری میزان انطباق داده‌های پیش‌بینی شده با داده‌های مشاهده‌ای، یک تابع عدم برآراش (data misfit)، به صورت زیر طراحی شده است:

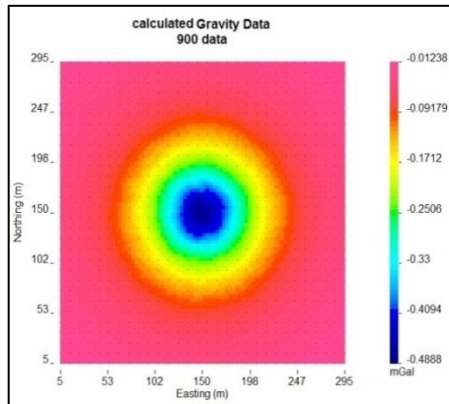
$$\phi_d = \sum_{i=1}^N \left(\frac{d_i^{obs} - d_i^{pre}}{\epsilon_i} \right)^2 \quad (5)$$

و شکل ماتریسی آن به صورت رابطه (۶) است:

$$\Phi_d = \|w_d(d - d^{pre})\|^2 \quad (6)$$

که در دو رابطه فوق، N تعداد داده‌ها، d_i^{obs} ، i امین داده مشاهده‌ای، d_i^{pre} ، i امین داده اینینینی شده به وسیله مدل و ϵ_i بیانگر انحراف معیار i امین داده اینینوند وارون‌سازی مانند مسائل بهینه‌سازی می‌باشد و هدف پیدا کردن مدلی است که تابع هدف مدل را کمینه کرده و داده‌های آن، تا مقدار ینی بر داده‌های مشاهده‌ای منطبق باشد. رابطه (۷)، تابع هدف را نشان می‌دهد که شامل عدم برآراش داده‌ها (ϕ_d)، تابع هدف مدل (ϕ_m) و ضریب منظم‌سازی μ است؛ کمینه شدن این تابع هدف منجر به تولید مدل

جعفر زاده و همکاران، وارونسازی مقید سه بعدی داده های گرانی سنگی گنبد نمکی قم با استفاده از قیدهای مثبت بودن، هموارسازی، مدل مرجع و ...، صفحات ۳۳-۴۴.

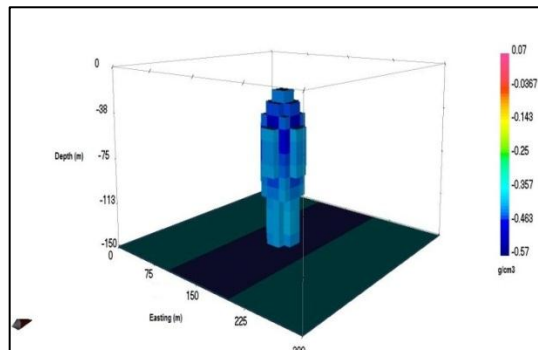


شکل ۴: شبکه‌ی حاصل از داده‌های نویه‌دار.

در گام بعد با اعمال قید مثبت بودن (قابل ذکر است که این قید صرفاً به تباین چگالی مثبت اشاره ندارد بلکه در مواردی که تباین چگالی مورد نظر کاملاً مثبت و یا کاملاً منفی است، به کاربرده می‌شود (Williams, 2008; Philips, 2002) و درنتیجه کاهش محدوده چگالی مجاز سلول‌ها، از کشیدگی عمقی زیاد مدل جلوگیری شده است (شکل ۶).

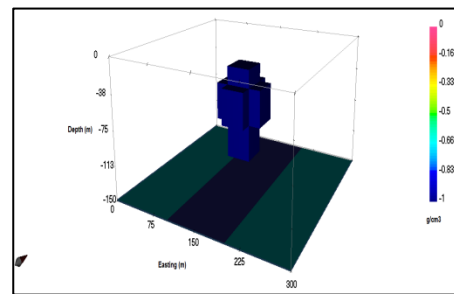
در گام سوم، علاوه بر قید مثبت بودن، با افزایش میزان همواری در راستای قائم، از تمرکز سطحی مدل کاسته و عمق پایین مدل بهتر شده است (شکل ۷). در گام آخر، نصف مدل مصنوعی را به عنوان مدل مرجع و مدل کرانه‌ای، به وارونسازی اعمال شده و نتایج آن در شکل‌های ۸ و ۹ آمده است (Philips, 2002).

هدف از این کار، مشخص کردن توانایی وارونسازی در بازسازی مدل‌هایی است که قبل اطلاعاتی در مورد قسمت‌هایی از آن بهدست آمده است. این اطلاعات می‌تواند از دیگر روش‌های ژئوفیزیکی یا داده‌های حفاری و زمین‌شناسی به دست آید. با توجه به شکل حاصل از قید نصف مدل مرجع، نیمه بازسازی شده مدل به سمت عمق کشیدگی پیدا کرده است اما در شکل حاصل از قید نصف مدل کرانه‌ای، این کشیدگی وجود نداشته و همچنین تغییرات مدل به صورت هموار است.

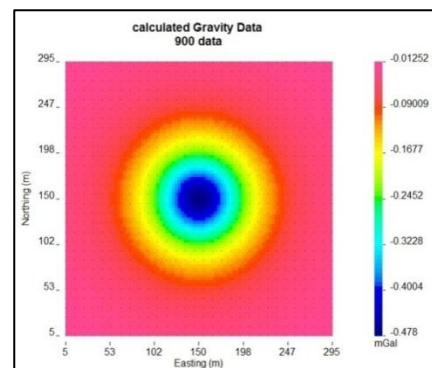


شکل ۵: وارونسازی بدون اعمال قید.

روش، ابتدا عملکرد آن بر روی داده‌های مصنوعی امتحان می‌شود. با توجه به این که داده‌های واقعی همواره دارای نویه هستند، برای شبیه‌سازی بهتر، به داده‌های مصنوعی نیز مقداری نویه اضافه می‌شود. بر اساس میزان تطبیق نتایج با جواب اصلی، می‌توان کلاری روش به کار رفته را ارزیابی کرد (جهانداری و همکاران، ۱۳۹۱). در این مقاله، مدل مصنوعی به صورت شکل ۱ تعریف شده است؛ که در آن عمق بالا و پایین شکل مورد نظر به ترتیب ۲۰ و ۱۲۰ متر و تباين چگالی آن با محیط اطراف، ۱ گرم بر سانتی‌متر مکعب منظور شده است. داده‌های بهدست آمده از این مدل، در یک شبکه مربعی به فواصل ۱۰ متر محاسبه شده؛ که حاصل آن، تعداد ۹۰۰ داده و میزان نویه گوسی تصادفی اضافه شده به این داده‌ها، ۲ درصد است. شبکه‌ی حاصل از داده‌های خام و هموار با نویه در شکل‌های ۳ و ۴ آمده است. هدف از این قسمت، مدل‌سازی گام‌به‌گام و مقایسه و بهبود بخشیدن مدل نهایی با اعمال قیدهای متفاوت است. در گام اول، وارونسازی بدون اعمال هیچ‌یک از قیود هموارسازی، مثبت بودن (positivity)، مدل مرجع و مدل کرانه‌ای انجام شد (شکل ۵). در این شکل با انتخاب باند تباین چگالی مثبت و منفی، جهت برآش داده‌های محاسبه‌ای و مشاهده‌ای، مجموعه‌ای از سلول‌ها به انتهای مدل اضافه شده که این، باعث کشیدگی عمق پایین مدل شده است.



شکل ۶: نمای سه بعدی مدل مصنوعی مورد استفاده.



شکل ۷: شبکه‌ی حاصل از داده‌های خام بدون نویه.

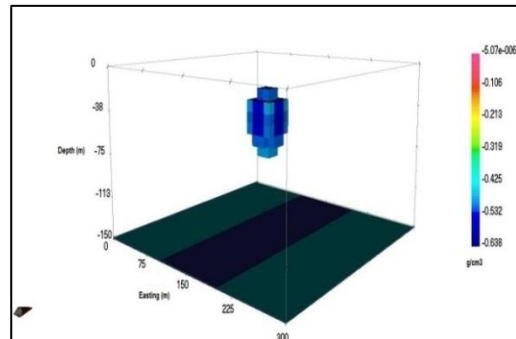
البرز و در دماغه غربی آن در سطح زمین به صورت یک برآمدگی مرتفع با مساحتی دایره‌ای شکل بروزنده‌گی دارد و بلندترین نقطه در منطقه مورد مطالعه است (شکل ۱۰).

گنبد نمکی قم یکی از گنبدهای ایران مرکزی (مانند گنبدهای نمک کویر جنوب سمنان و شمال شرقی اردکان) است که اساساً از نمک با ناخالصی‌هایی از رس تشکیل شده است. سطح گنبد نمکی توسط رس‌های قرمز مایل به زرد پوشیده شده است.

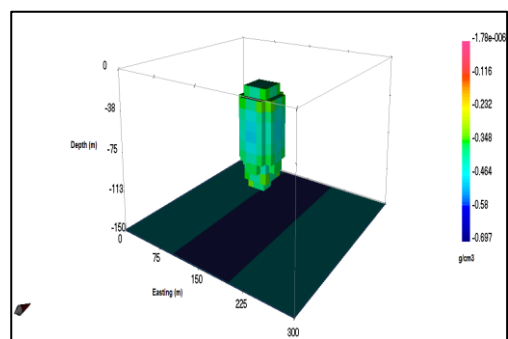
در زمینه‌ی منشأ این گنبد نمکی تحقیقات کافی به عمل نیامده و نظر واحدی ابراز نشده است. به طورکلی در حوضه مرکزی ایران، دو منشأ برای گنبدهای نمکی می‌توان ذکر نمود؛ یکی سازند قرمز زیرین (زیر سازند قم) و دیگری واحد تبخیری قاعده سازند قرمز بالایی است (امیدی، ۱۳۶۹). آقاشاهی و زمردیان، با مطالعات گرانی‌سنگی گنبد نمکی قم نتیجه گرفته که گنبد مذکور ریشه‌ای عمیق ندارد (Aghashahi and Zomorodian, 1981).

عبایی و همکاران که سازند قرمز زیرین را به دو بخش تبخیری زیرین و لایه‌های قرمز بالایی تقسیم می‌کنند، به استناد سن‌یابی به روش رادیواکتیو و گرددشناسی، اعتقاد دارند که گنبد نمکی قم از واحد تبخیری زیرین مشتق شده و در امتداد یک منطقه گسلی (شکل ۱۱)، به سمت بالا حرکت نموده است (Abaie et al., 1964) همچنین نقشه تراز ساختاری رأس سازند قرمز زیرین، حاکی از وجود یک ساختمان گنبدی در این سازند در زیر زمین می‌نماید. بنابراین بر اساس داده‌های موجود می‌توان استنباط نمود که گنبد نمکی قم از واحدهای تبخیری قبل از سازند قم مشتق شده است و نظر آقاشاهی و زمردیان در این زمینه که گنبد نمکی قم دارای ریشه‌ای عمیق نیست چندان به واقعیت نزدیک نیست، ولی هنوز به درستی مشخص نشده است (امیدی، ۱۳۶۹).

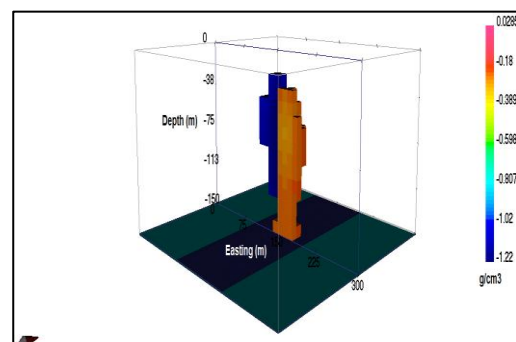
آقاجانی (۱۳۸۸)، با توجه به تحلیل داده‌های گرانی منطقه به روش گرادیان کل نرمال شده، عمق زیرین گنبد نمکی را حداقل بیش از ۴۰۰ متر تعیین کرده است. در این تحقیق، با توجه به دامنه تغییرات چگالی برای سنگ‌های منطقه که حدود ۲/۵۵ تا ۲/۷۵ گرم بر سانتی‌متر مکعب و برای گنبد نمکی ۱/۹۵ تا ۲/۱۵ است، مقدار اختلاف چگالی مطلوب، -0.6 گرم بر سانتی‌متر مکعب است. داده‌های گرانی‌سنگی مورد استفاده، در یک شبکه منظم به فواصل ایستگاه‌ها و خطوط برداشت ۵۰۰ متری برداشت شده است که حاصل آن، تعداد ۱۵۵۱ داده است. بر اساس روش روند سطحی مرتبه سه، بی‌هنجری‌های باقیمانده گرانی در ناحیه قم از بی‌هنجری‌های ناحیه‌ای تفکیک گردید (آقاجانی، ۱۳۸۸). نقشه بوگه کامل و حذف روند سطحی درجه ۳، در شکل‌های ۱۲ و ۱۳ ارائه شده است.



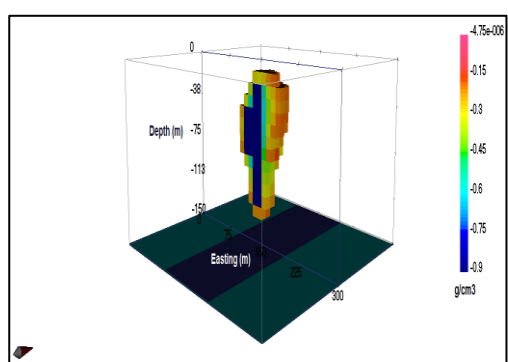
شکل ۶: وارون‌سازی با اعمال قید مثبت بودن.



شکل ۷: مدل حاصل از قیود مثبت بودن و هموارسازی.



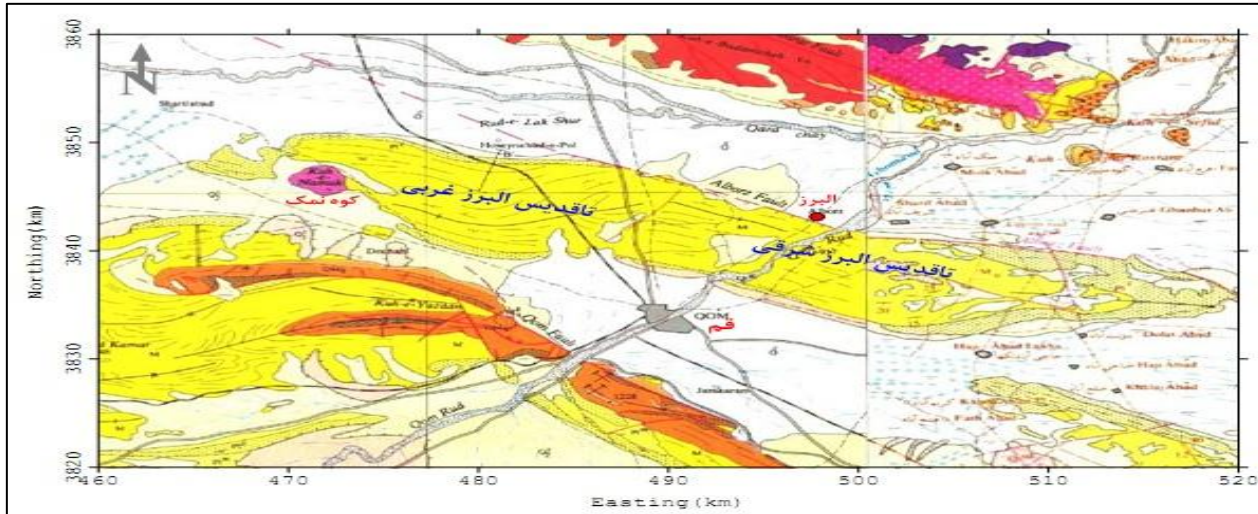
شکل ۸: اعمال مدل مرجع به وارون‌سازی.



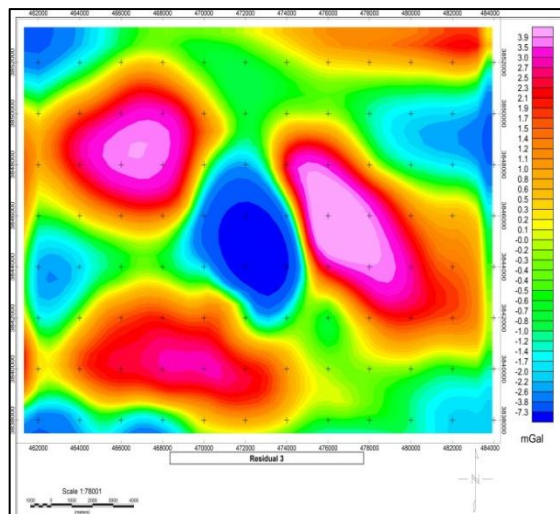
شکل ۹: اعمال مدل کرانه‌ای به وارون‌سازی.

۲-۳- وارون‌سازی داده‌های واقعی

گنبد نمکی قم معروف به کوه نمک، در انتهای شمال غربی تاقدیس

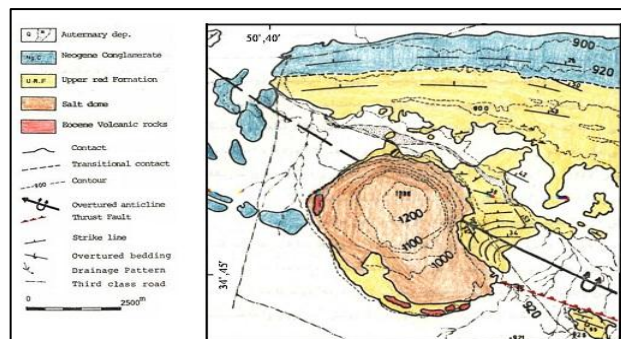


شکل ۱۰: زمین‌شناسی حوضه نفتی البرز- سراجه، نیمه شرقی برگرفته از نقشه ۱/۲۵۰۰۰ آران (امامی، ۱۳۷۱) و نیمه غربی آن از نقشه ۱/۲۵۰۰۰ قم است (امامی و حاجیان، ۱۹۸۱).

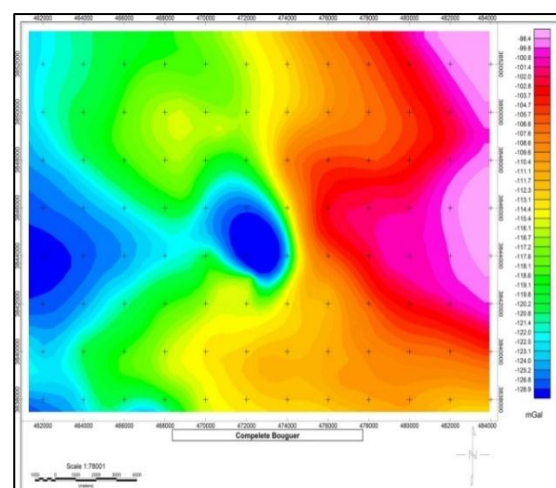


شکل ۱۳: نقشه بی‌هنگاری‌های باقیمانده حاصل از حذف اثرات بی‌هنگاری ناحیه‌ای به روش روند سطحی با مرتبه سه.

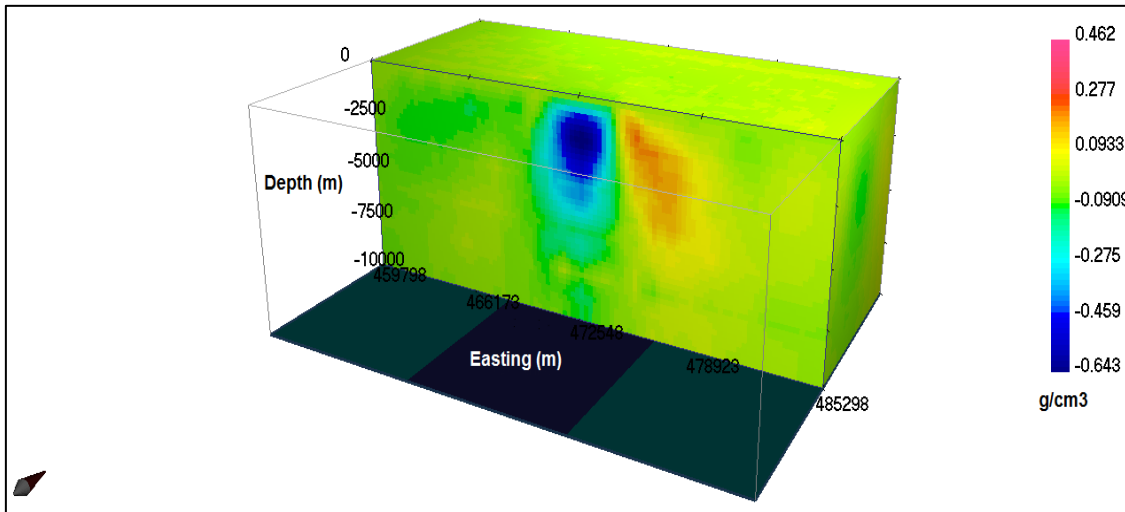
پس از حذف اثرات ناحیه‌ای و مشخص شدن آنومالی محلی، با توجه به روند مدل‌سازی داده‌های مصنوعی، در ادامه کار مدل‌سازی گام به گام با تأثیر قیود فوق صورت گرفته است. برای این منظور ابتدا مسئله بدون اعمال هیچ‌گونه قیدی حل شده است که نتیجه آن در شکل ۱۴ آورده شده است. با توجه به اطلاعات زمین‌شناسی منطقه مورد مطالعه، مشخص شد که گنبد نمکی قم در سطح زمین بروزنزدگی دارد، اما همان‌طور که در شکل ۱۴ مشخص است، عمق بالای مدل به سطح زمین نرسیده است. در گام بعد با اعمال قید مثبت بودن مدل جمع‌تری حاصل شد اما عمق بالای مدل هنوز تصحیح نشده است (شکل ۱۵).



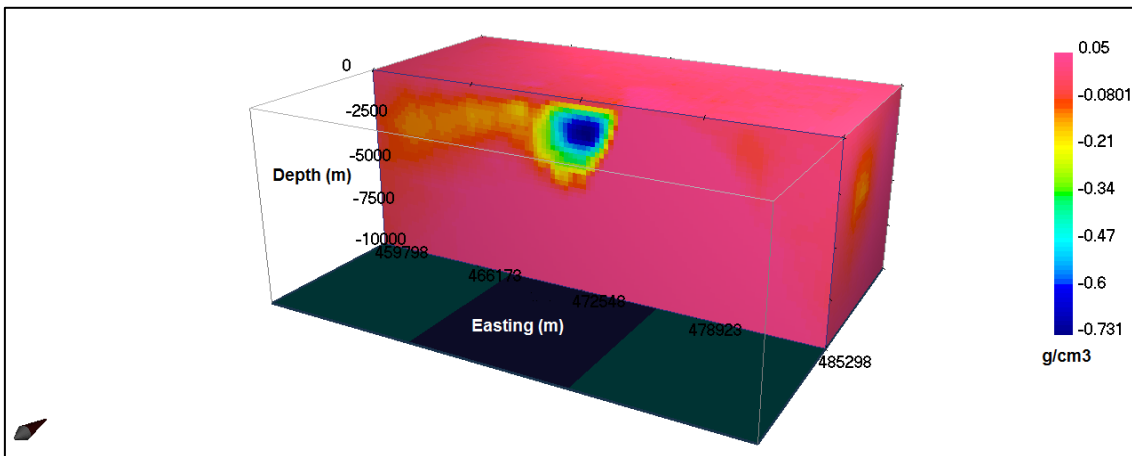
شکل ۱۱: موقعیت گنبد نمکی قم در ساختمان چین خورده البرز (امیدی، ۱۳۶۹).



شکل ۱۲: نقشه بوگه کامل منطقه مورد مطالعه.



شکل ۱۴: وارونسازی بدون اعمال قید.



شکل ۱۵: وارونسازی با اعمال قید مثبت بودن.

نمکی دارد؛ همچنین با توجه به وجود رخنمون‌های سطحی این ساختار و تحقیقات آفاجانی (۱۳۸۸) مبنی بر کشیدگی عمودی گنبد نمکی مذکور تا عمق ۴۰۰۰ متری، اقدام به طراحی دو لایه از سلول‌ها با کشیدگی سطحی ۲ کیلومتر در سطح و عمق ۴۰۰۰ متری زمین شده است (شکل ۱۹).

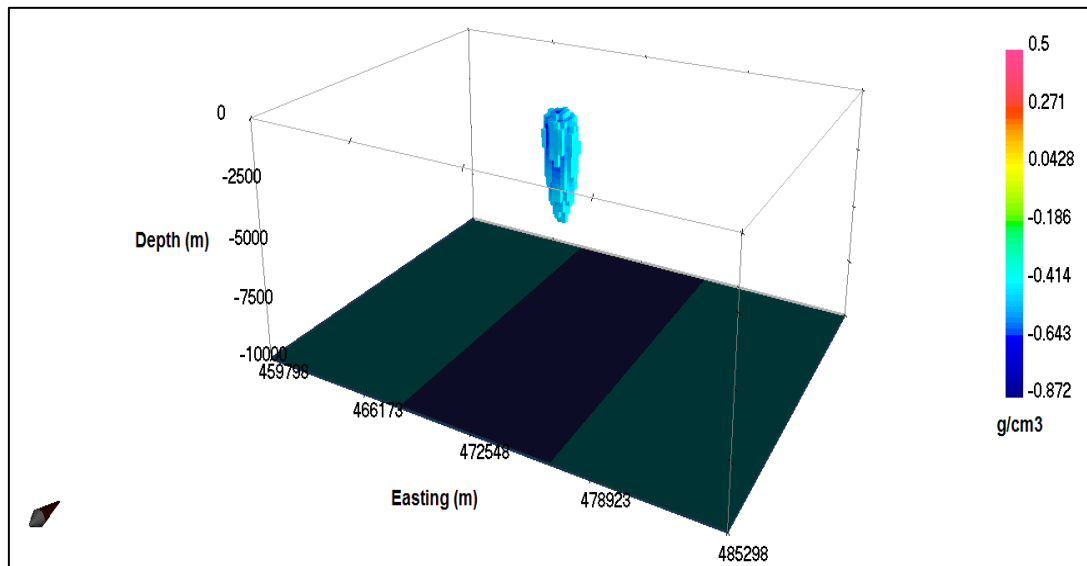
در گام آخر، قیود مدل مرجع و مدل کرانه‌ای به وارونسازی اعمال شد که نتایج آن در شکل‌های ۲۰ و ۲۱ آورده شده است. همان‌طور که در کادر قرمز رنگ شکل ۲۰ مشاهده می‌شود، قید مدل مرجع نتوانسته است مدل را در نزدیکی سطح زمین بازسازی کند اما در شکل ۲۱، رخنمون‌های گنبد نمکی قم تأیید شده است.

در گام سوم با افزایش وزن سلول‌های سطحی‌تر و افزایش همواری در راستای قائم، مدلی به دست آمد که علاوه بر کشیدگی عمقی مناسب، بر سطح زمین نیز رخنمون دارد (شکل ۱۶).

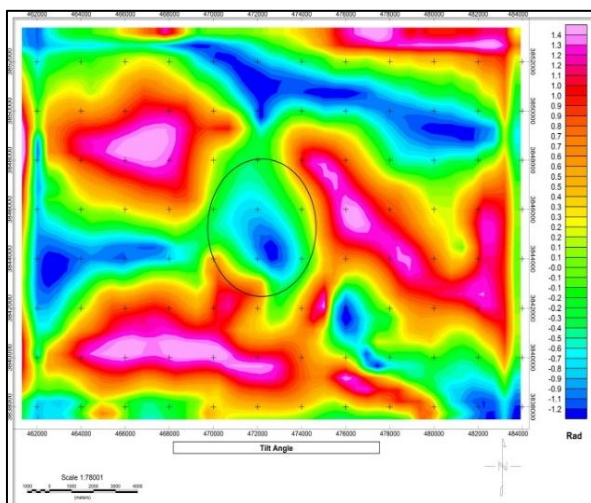
جهت طراحی مدل مرجع و مدل کرانه‌ای و وارد کردن داده‌های مورد اعتماد اولیه به روند وارونسازی، از پژوهش‌های علمی انجام شده در این زمینه و همچنین فیلترهای تعیین مرز مانند فیلتر زاویه تمایل و زاویه تمایل هایپربولیک که با استفاده از بسته کد PotenSoft

متلب (Arisoyan and Dikmen, 2011) انجام شد، استفاده شده است. نتایج حاصل از فیلترهای تعیین مرز (شکل‌های ۱۷ و ۱۸)، نشان‌دهنده‌ی کشیدگی سطحی متوسط ۲ کیلومتری این گنبد

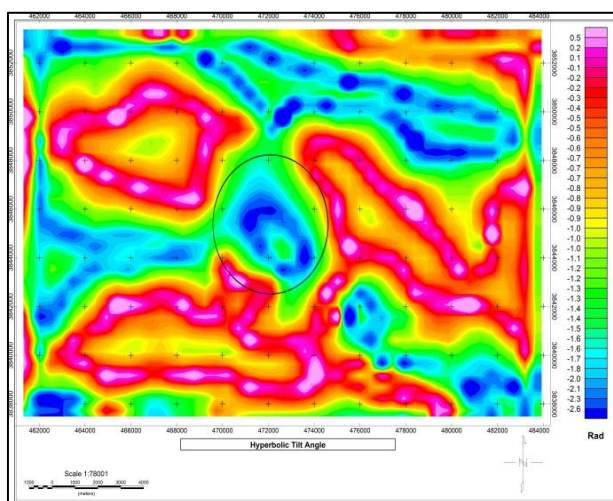
جعفر زاده و همکاران، وارونسازی مقید سه بعدی داده های گرانی سنگی گنبد نمکی قم با استفاده از قیدهای مثبت بودن، هموارسازی، مدل مرجع و ...، صفحات ۳۳-۴۴.



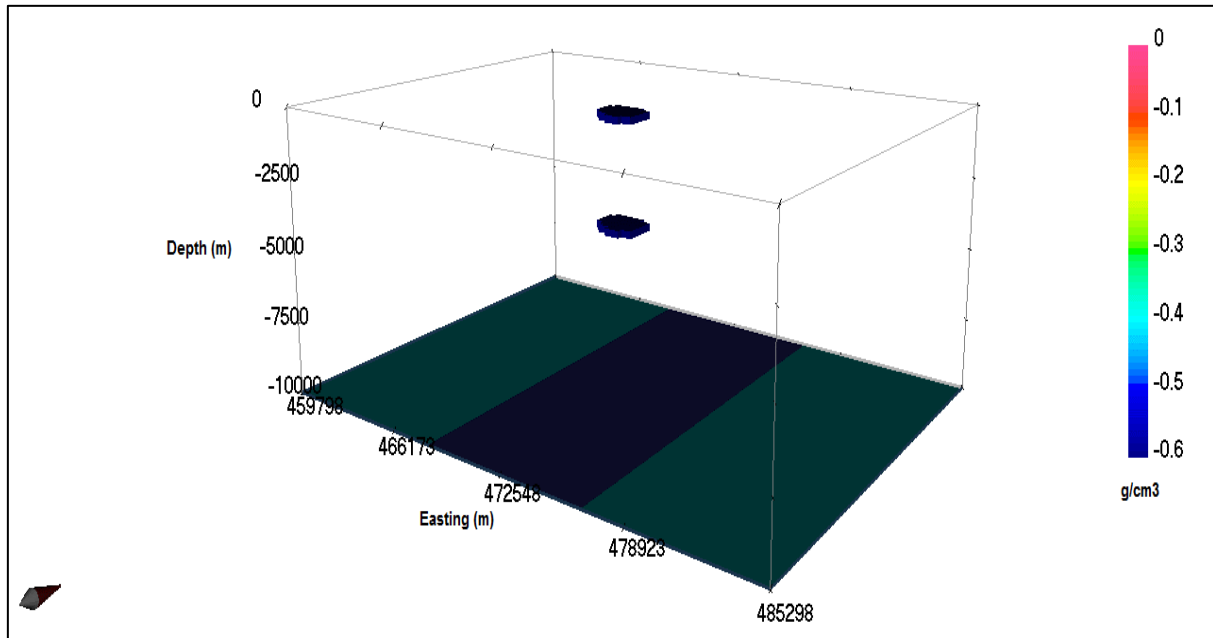
شکل ۱۶: مدل حاصل از اعمال قید هموارسازی.



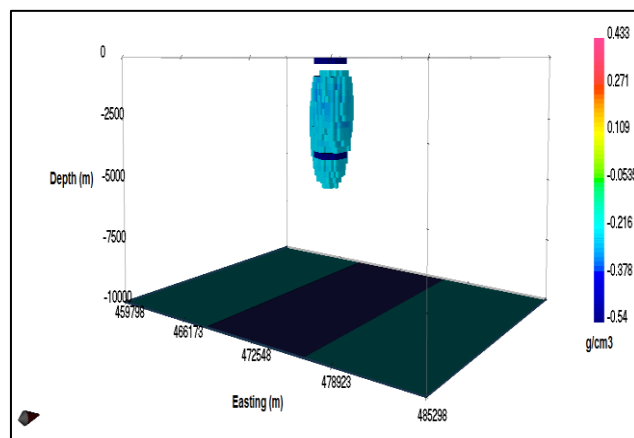
شکل ۱۷: نقشه حاصل از فیلتر زاویه تمایل (مقدار متوسط کشیدگی سطحی ۲۲۵۰ متر).



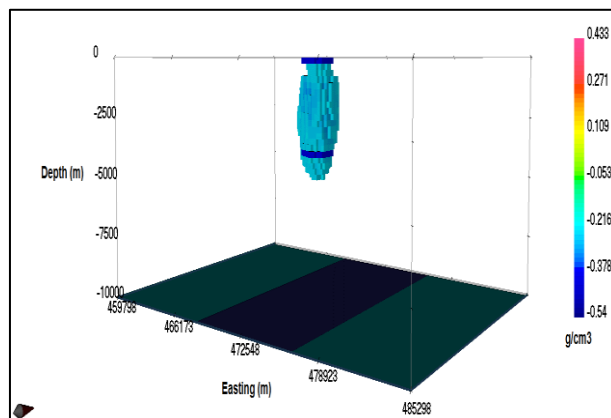
شکل ۱۸: نقشه حاصل از فیلتر زاویه تمایل هایپربولیک (مقدار متوسط کشیدگی سطحی ۲۲۵۰ متر).



شکل ۱۹: مدل طراحی شده قیود مرجع و مدل کرانه‌ای.



شکل ۲۰: اعمال مدل مرجع به وارونسازی.



شکل ۲۱: اعمال مدل کرانه‌ای به وارونسازی.

۴- نتیجه گیری

قم، پایان نامه کارشناسی ارشد، دانشکده علوم، دانشگاه تربیت مدرس تهران، ایران.

جهانداری، م.، اسکویی، ب. و ابراهیم زاده اردستانی، و.، ۱۳۹۱، وارونسازی سه بعدی داده های مغناطیسی منطقه آهن دار سرخه دیزج زنجان با استفاده از الگوریتم غیرخطی مارکوارتلونبرگ، م. فیزیک زمین و فضا، ۳۸، (۳)، ۱۲۹-۱۴۶.

مرادزاده، ع. دولتی اردوجهانی، ف. آگاه، آ. و طباطبائی رئیسی، س.، ۱۳۸۴، اکتشاف تله های هیدروکربوری طبس با روش جدید وارونسازی سه بعدی داده های گرانی، م. فیزیک زمین و فضا، ۳۱، (۲)، ۲۳-۳۴.

نجاتی کلاته، ع. و ابراهیم زاده اردستانی، و.، ۱۳۸۴، مدل سازی وارون دوبعدی داده های گرانی، م. فیزیک زمین و فضا، ۳۱، (۱)، ۲۷-۳۷.

یوسفی، ب. و اسکویی، ب.، ۱۳۹۲، استفاده از روش لی - اولدنبرگ در برگردان سه بعدی داده های مغناطیسی زمینی منطقه گزستان (استان یزد)، مجله فیزیک زمین و فضا، ۳۹، (۱)، ۷۳-۸۸.

Abaie, I., Ansari, H.J., Badakhshan, A. and Jaafari, A., 1964, History and development of the Alborz and Sarajeh fields of Central Iran, Bulletin of Iranian Petroleum Institute, 15, 561-574.

Aghashahi, E. and Zomorodian, H., 1981, Gravity study of Qum salt dome in Iran, Journal of Earth and Space Physics, 10, 21-24.

Arisoy, M.O. and Dikmen, U., 2011, Potensoft: MATLAB-based software for potential field data processing, modeling and mapping, Computers & Geosciences, 37, 935-942.

Boulanger, O. and Chouteau, M., 2001, Constraints in 3D gravity inversion, Geophysical Prospecting, 49 (2), 265-280.

Chasserau, P. and Chouteau, M., 2003, 3D gravity inversion using a model of parameter covariance, Journal of applied geophysics, 52 (1), 59-74.

Cooper, G.R.J. and Cowan, D.R., 2006, Enhancing potential field data using filters based on the local phase, Computers & Geosciences, 32 (10), 1585-1591.

Fullagar, P.K., Pears, G.A. and McMonnies, B., 2008, Constrained inversion of geologic surfaces-pushing the boundaries, The Leading Edge, 27 (1), 98-105.

هدف از این پژوهش، وارونسازی داده های بی هنجاری گرانی به روش لی و اولدنبرگ و مقایسه نتایج حاصل از اعمال قیدهای مثبت بودن، هموارسازی، مدل مرجع و مدل کرانه ای بود که در آن وارونسازی گام به گام بر روی یک مدل مصنوعی و داده های گرانی سنجی گنبد نمکی قم انجام شد. با مقایسه شکل های حاصل از داده های مصنوعی، مشخص شد که در صورت عدم استفاده از قیود مذکور، کف زیرین مدل زیادی به سمت عمق کشیده می شود (شکل ۵). با استفاده از قید مثبت بودن، می توان از کشیدگی عمقی جلوگیری کرد اما باعث متمرکز شدن مدل در نزدیکی سطح خواهد شد (شکل ۶). با اعمال صحیح قید هموارسازی، می توان از کشیدگی عمقی زیاد و متمرکز شدن مدل در سطح جلوگیری کرد (شکل ۷). کشیدگی عمقی شکل حاصل از قید مدل مرجع (شکل ۸)، زیادتر از عمق کف مدل مصنوعی است اما در شکل حاصل از قید مدل کرانه ای (شکل ۹)، این کشیدگی اضافی وجود ندارد؛ پس قید مدل کرانه ای عملکرد بسیار بهتری نسبت به قید مدل مرجع داشته است. با مقایسه شکل های حاصل از داده های واقعی نیز مشخص شد که استفاده از قید مثبت بودن باعث متمرکز شدن مدل در نزدیکی سطح می شود (شکل ۱۵)، اما با کمک قید هموارسازی مناسب، از این امر جلوگیری می شود (شکل ۱۶). جهت طراحی و مقایسه قیدهای مدل مرجع و کرانه ای، از فیلترهای تعیین مرز و پژوهش های قبلی در این زمینه استفاده شد (شکل ۱۹). در شکل حاصل از قید مدل مرجع (شکل ۲۰)، مشخص شد که این قید به خوبی نتوانسته است عمق بالای مدل را به سطح زمین نزدیک کند اما در شکل حاصل از قید مدل کرانه ای (شکل ۲۱)، بالای مدل در سطح زمین مشاهده می شود؛ پس در این قسمت هم قید مدل کرانه ای عملکرد بسیار بهتری نسبت به قید مدل مرجع داشته است. با توجه به شکل های ۲۰ و ۲۱ نیز مشخص شد که گسترش عمودی گنبد نمکی قم حداقل تا عمق ۴۵۰۰ متری ادامه دارد، از این رو منشا گنبد نمکی قم سازند قرمز زیرین است.

۵- منابع

آقاجانی، ح.، ۱۳۸۸، بررسی قابلیت روش گرادیان کل نرمال داده های گرانی در تعیین پتانسیل هیدروکربوری تله های نفتی، رساله دکتری، دانشگاه صنعتی شاهرود، شاهرود، ایران.

امامی، م. و حاجیان، ج.، ۱۹۸۱، نقشه زمین شناسی ۱/۲۵۰۰۰۰، قم، سازمان زمین شناسی و اکتشافات معدنی کشور.

امامی، م.، ۱۳۷۱، نقشه زمین شناسی ۱/۲۵۰۰۰۰، آران، سازمان زمین شناسی و اکتشافات معدنی کشور.

امیدی، پ.، ۱۳۶۹، تحلیل خمیدگی ساختاری تقدیس البرز- شمال

- Portniaguine, O. and Zhdanov, M.S., 1999, Focusing geophysical inversion images, *Geophysics*, 64 (3), 874-887.
- Portniaguine, O. and Zhdanov, M.S., 2002, 3-D magnetic inversion with data compression and image focusing, *Geophysics*, 67 (5), 1532-1541.
- Saunders, M.A., 1995, Cholesky-based methods for sparse least squares: The benefits of regularization Linear and Nonlinear Conjugate Gradient-Related Methods, 92-100.
- Talwani, M., Worzel, J.L. and Landisman, M., 1959, Rapid gravity computations for two-dimensional bodies with application to the Mendocino submarine fracture zone, *Journal of Geophysical Research*, 64 (1), 49-59.
- Talwani, M. and Ewing, M., 1960, Rapid computation of gravitational attraction of three-dimensional bodies of arbitrary shape, *Geophysics*, 25, 203-225.
- Van Zon, T. and Roy-Chowdhury, K., 2006, Structural inversion of gravity data using linear programming, *Geophysics*, 71 (3), J41-J50.
- Williams, N.C., 2008, Geologically-constrained UBC-GIF gravity and magnetic inversions with examples from the Agnew-Wiluna greenstone belt, Western Australia.
- Won, I.J. and Bevis, M., 1987, Computing the gravitational and magnetic anomalies due to a polygon: Algorithms and Fortran subroutines, *Geophysics*, 52 (2), 232-238.
- Wright, S.J., 1997, Primal-dual interior-point methods, SIAM, Philadelphia, PA.
- Gill, P.E., Murray, W., Ponceleon, D.B. and Saunders, M.A., 1991, Solving reduced KKT systems in barrier methods for linear and quadratic programming, Stanford Univ Ca Systems Optimization Lab.
- Grant, F.S. and West, G.F., 1965, Interpretation theory in applied geophysics. McGraw-Hill Book Co.
- Guillen, A., Courrioux, G., Calcagno, P., Lane, R., Lees, T. and McInerney, P., 2004, Constrained gravity 3D litho-inversion applied to Broken Hill, ASEG Extended Abstracts, 1, 1-6.
- Hubbert, M.K., 1948, A line-integral method of computing the gravimetric effects of two-dimensional masses, *Geophysics*, 13 (2), 215-225.
- Lelièvre, P.G., Oldenburg, D.W. and Williams, N.C., 2009, integrating geological and geophysical data through advanced constrained inversions, *Exploration Geophysics*, 40 (4), 334-341.
- Li, Y. and Oldenburg, D.W., 1996, 3-D inversion of magnetic data, *Geophysics*, 61 (2), 394-408.
- Li, Y. and Oldenburg, D.W., 1998, 3-D inversion of gravity data, *Geophysics*, 63 (1), 109-119.
- Li, Y. and Oldenburg, D.W., 2003, Fast inversion of large-scale magnetic data using wavelet transforms and a logarithmic barrier method, *Geophysical Journal International*, 152 (2), 251-265.
- Miller, H.G. and Singh, V., 1994, Potential field tilt-a new concept for location of potential field sources, *Journal of Applied Geophysics*, 32 (2), 213-217.
- Phillips, N.D., 2002, Geophysical inversion in an integrated exploration program: Examples from the San Nicolas deposit.



Shahrood University of Technology

JOURNAL OF RESEARCH ON APPLIED GEOPHYSICS

(JRAG)

2015, VOL 1, NO 1



3-D Constrained Inversion of Gravity Data Acquired from Qom Salt Dome using Positivity, Smoothness, Reference Model and Bounded Model Constraints

Vahid Jafarzadeh¹, Ali Nejati Kalateh ^{*2}, Hamid Aghajani² and Ahamed Vaezian³

1- M.Sc. Student, School of Mining, Petroleum and Geophysics, Shahrood University of Technology, Shahrood, Iran

2- Assistant Professor, School of Mining, Petroleum and Geophysics, Shahrood University of Technology, Shahrood, Iran

3- Ph.D. of Mine Exploration, School of Mining, Petroleum and Geophysics, Shahrood University of Technology, Shahrood, Iran

Received: 17 December 2015; Accepted: 24 January 2016

Corresponding author: nejati@shahroodut.ac.ir

Keywords

Constrained inversion

Li-Oldenburg method

Smoothness

Reference model

Bounded model

Qom salt dome

Extended Abstract

Summary

Nowadays attempts to detect and achieve buried structures and underground resources have developed widely and geophysics is a means of identifying these structures. One of the main goals of geophysical data interpretations, is to incorporate additional information to the process of inversion in order to define the characteristics of geological structures as precisely as possible. In this paper, a three-dimensional (3-D) constrained inversion of gravity data acquired from

Qom salt dome using Grav3D program is presented, and then, the results are compared with the results of 3-D constrained inversion of the data using constraints including smoothness, positivity, reference model and bounded model. For testing the algorithm, a step by step constraint inversion including smoothness, positivity, reference model and bounded model has been performed on an artificial model, and then, the algorithm has been used for modeling the gravity data acquired from Qom salt dome.

Introduction

The recent ability to produce 3-D models of the sub-surface, coupled with an increasing need to explore concealed resources, results from geophysical inversions that provide more and more significant information to the explorers. Since our country is rich in mineral resources, the use of optimized modern and efficient methods to prevent additional costs in exploring these resources is very important. Thus, in the first step of this exploration procedure, we should try to collect as much information as possible about the underground structures. In this direction, 3-D modeling of geophysical data can lead to successfully interpreting the data. The outcome of modeling is to have a better understanding of target such as the shape and depth of source. Finding these specifications of the source directly influences the subsequent decisions for management of major costs.

Methodology and Approaches

The inversion method, used in this paper, is based on the inversion algorithm developed by Li and Oldenburg. As a result of inversion of gravity data, the geometry of source or anomaly and also density contrast between the anomaly and the background are determined. In the inversion algorithm used in this research, the earth is modeled using a large number of rectangular cells of constant density, and the final density distribution is obtained by minimizing a model objective function subject to fitting the observed data. The model objective function has the flexibility to incorporate prior information, and thus, the constructed model not only fits the data but also agrees with additional geophysical and geological constraints. A depth weighting is applied in the objective function to counteract the natural decay of the kernels so that the inversion yields depth information. Incorporating additional information to the process of inversion is the strength of this algorithm which can be done with different constraints such as smoothness, positivity, reference model and bounded model. Constrained modeling leads inversion towards the production of logical models and as a result, the validity and reliability of the final model will increase.

Results and Conclusions

For optimized use of the algorithm, at first, it has been tested on synthetic models in which the synthetic gravity data have been contaminated with noise. Then, according to the accommodation of the results with the right model, the algorithm has been used for inversion of real gravity data, acquired from Qom salt dome, and then, the final results have been visualized. The inversion results indicate that Qom salt dome has lengthened to the depth of at least 4500 meters beneath the earth surface.